

Méthode de prévision

Etude de la série : Nombre de créations d'entreprises - Micro-entrepreneurs - Activités spécialisées, scientifiques et techniques et activités de services administratifs et de soutien - France



Keroudine BELLADJO

Plan

I - Introduction : présentation de la série

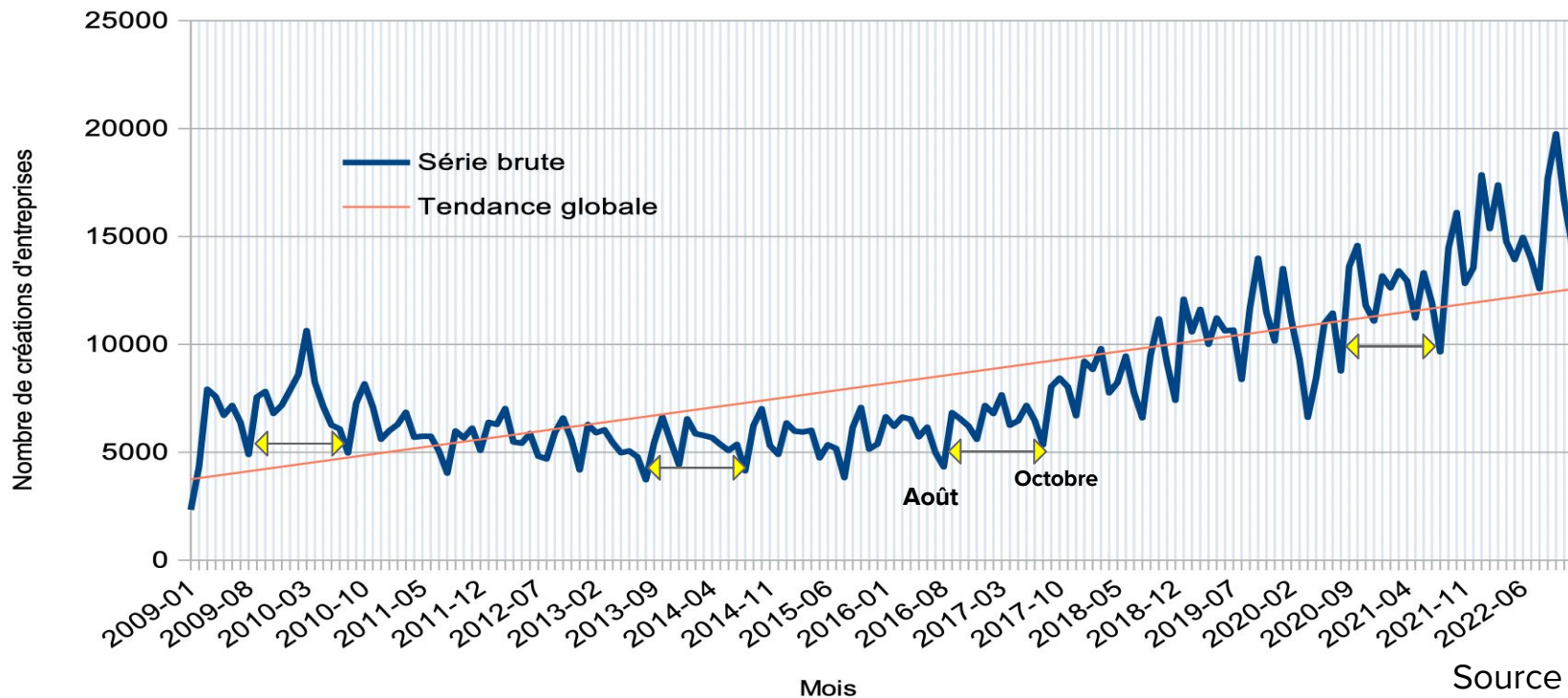
II - Lissage

III - Box-Jenkins

IV- Conclusion

I - INTRODUCTION : Présentation de la série

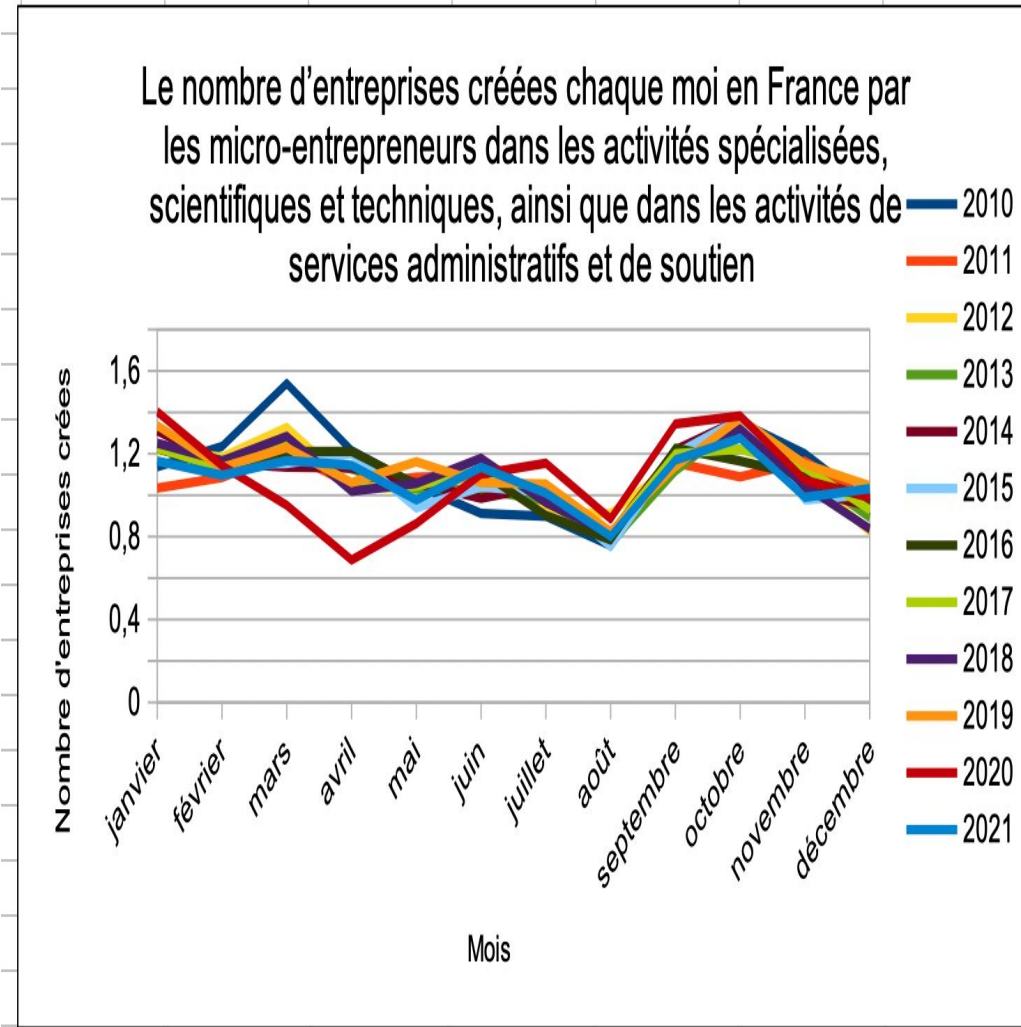
Le nombre d'entreprises créées chaque moi en France par les micro-entrepreneurs dans les activités spécialisées, scientifiques et techniques, ainsi que dans les activités de services administratifs et de soutien sur la période 2009-2022



Source : INSEE

1 - Graphique du TABLEAU DE BUYS-BALLOT

- Des creux tous les mois d'Août ,
- Des pics en octobre
- Des variations inattendues en mars 2010 et en avril 2020.



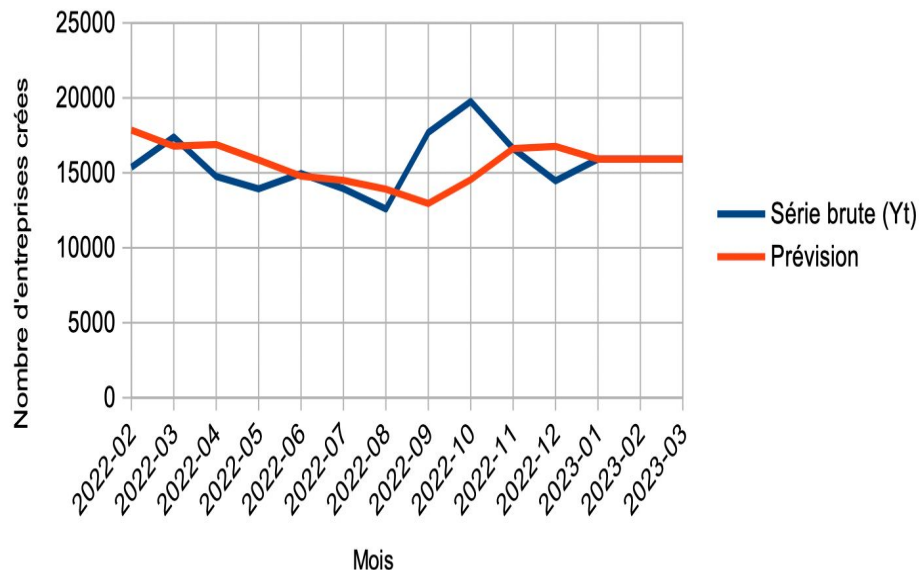
II - Lissage

Dans cette partie nous appliquerons différentes méthode de lissage : la méthode de Holt, la méthode de Holt-Winters sur notre série temporelle

Objectif : Déterminer la meilleure méthode de lissage pour cette série

1 - La méthode de Holt

Graphique représentant l'échantillon d'estimation des valeurs prédites et les valeurs observées



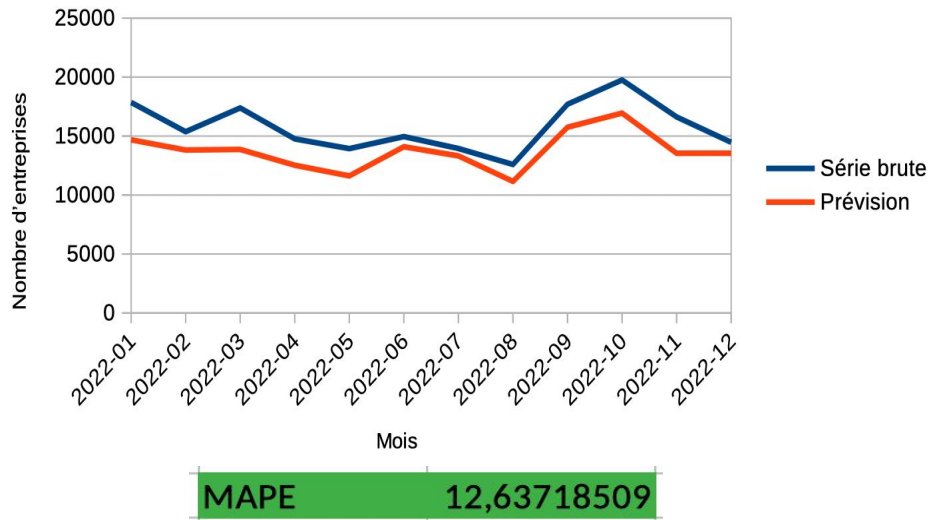
Le MAPE obtenu avec cette méthode :

MAPE 11,04 %

2 - La méthode de Holt-Winters

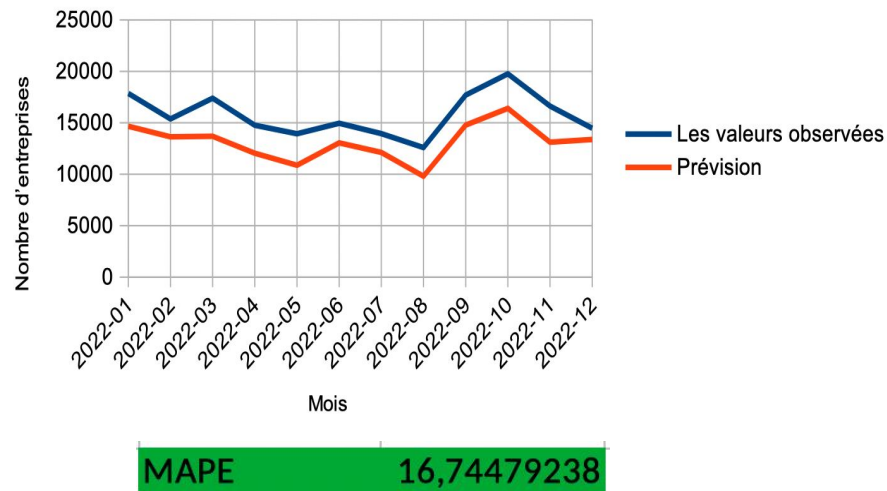
La méthode additive:

Legère écart entre l'échantillon d'estimation des valeurs prédites et les valeurs observées



La méthode multiplicative:

Ecart plus important entre l'échantillon d'estimation des valeurs prédites et les valeurs observées que pour la méthode additive



La meilleure méthode entre les deux est donc la méthode additive

Comparaison entre La méthode de Holt-Winters additive et la La méthode de Holt

La méthode de Holt :

MAPE	11,04 %
------	---------

La méthode de Holt-Winters additive :

MAPE	12,63718509
------	-------------

- **La méthode de Holt a la plus petite MAPE.**
- **C'est donc la meilleure méthode pour cette série parmi les méthode de lissage**

III-Méthode de Box-Jenkins

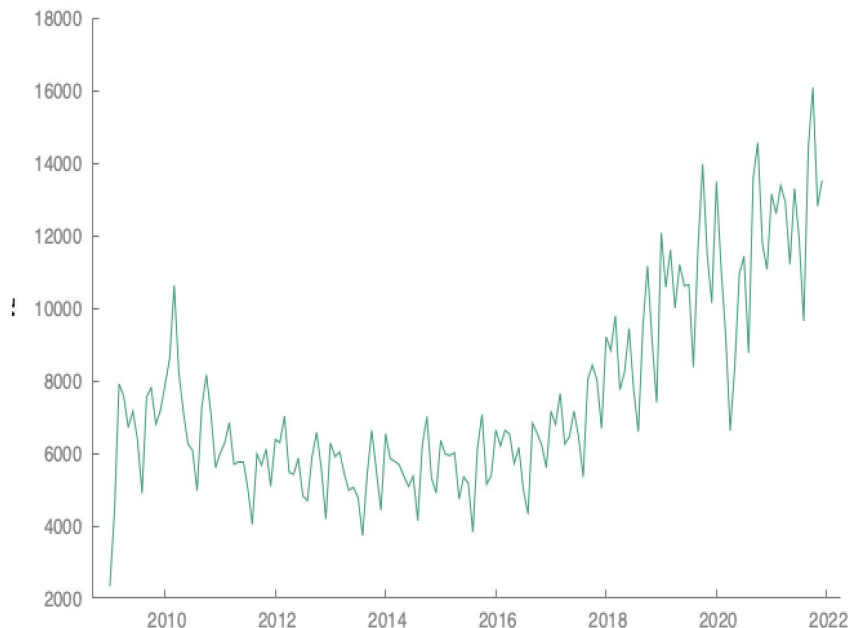
La méthode de Box-Jenkins est une approche en plusieurs étapes pour identifier et modéliser une série chronologique stationnaire avec un processus auto-régressif et une moyenne mobile (ARMA).

Première étape :Analyse de données

Étape ayant pour objectif la
stationnarisation de la série

1 - La série Brute (v2)

La série est saisonnière



Test de Dicker-Fuller

H_0 = La série admet de racines unitaires

H_1 = La série n'admet pas de racines unitaires

```
Test de Dickey-Fuller augmenté pour v2
test à reculons à partir de 13 retards, suivant le critère AIC
taille de l'échantillon 143
hypothèse nulle de racine unitaire : a = 1
```

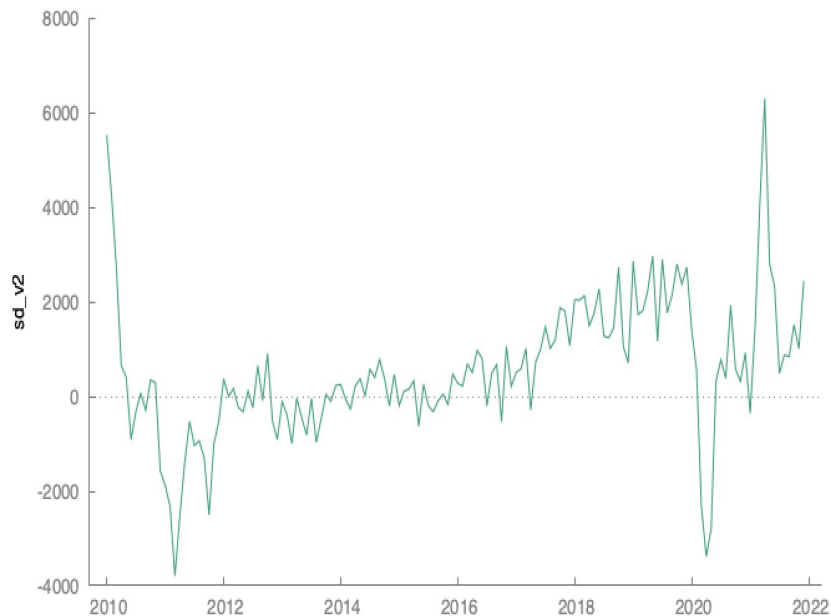
```
test avec constante
avec 12 retards de (1-L)v2
modèle: (1-L)y = b0 + (a-1)*y(-1) + ... + e
valeur estimée de (a - 1): 0.0379423
statistique de test: tau_c(1) = 1.09701
p. critique asymptotique 0.9975
Coeff. d'autocorrélation du 1er ordre pour e: 0.021
différences retardées: F(12, 129) = 28.081 [0.0000]
```

La p-critique ou p-value $0.9975 > \alpha = 0.05$, on ne rejette donc pas H_0 .

La série n'est donc pas stationnaire

2 - Série en différence saisonnière (Sd_v2)

La série n'est pas saisonnière



Test de Dicker-Fuller

H_0 = La série admet de racines unitaires

H_1 = La série n'admet pas de racines unitaires

Test de Dickey-Fuller augmenté pour sd_v2
test à reculons à partir de 13 retards, suivant le critère AIC
taille de l'échantillon 130
hypothèse nulle de racine unitaire : $\alpha = 1$

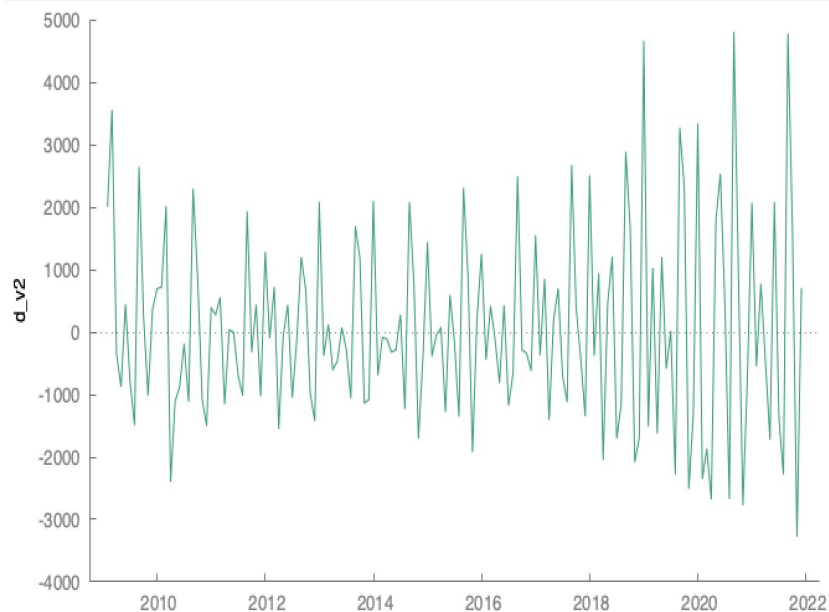
test avec constante
avec 13 retards de $(1-L)sd_v2$
modèle: $(1-L)y = b_0 + (\alpha-1)y(-1) + \dots + e$
valeur estimée de $(\alpha - 1)$: -0.148233
statistique de test: $\tau_c(1) = -1.74347$
p. critique asymptotique 0.4093
Coeff. d'autocorrélation du 1er ordre pour e: -0.009
différences retardées: $F(13, 115) = 2.852$ [0.0014]

La p-critique $0.4093 > \alpha = 0.05$, on ne rejette donc pas H_0 .

La série n'est donc pas stationnaire

3 - Série en différence première (d_v2)

La série est saisonnière



Test de Dicker-Fuller

H_0 = La série admet de racines unitaires

H_1 = La série n'admet pas de racines unitaires

Test de Dickey-Fuller augmenté pour d_v2
test à reculons à partir de 13 retards, suivant le critère AIC
taille de l'échantillon 143
hypothèse nulle de racine unitaire : $\alpha = 1$

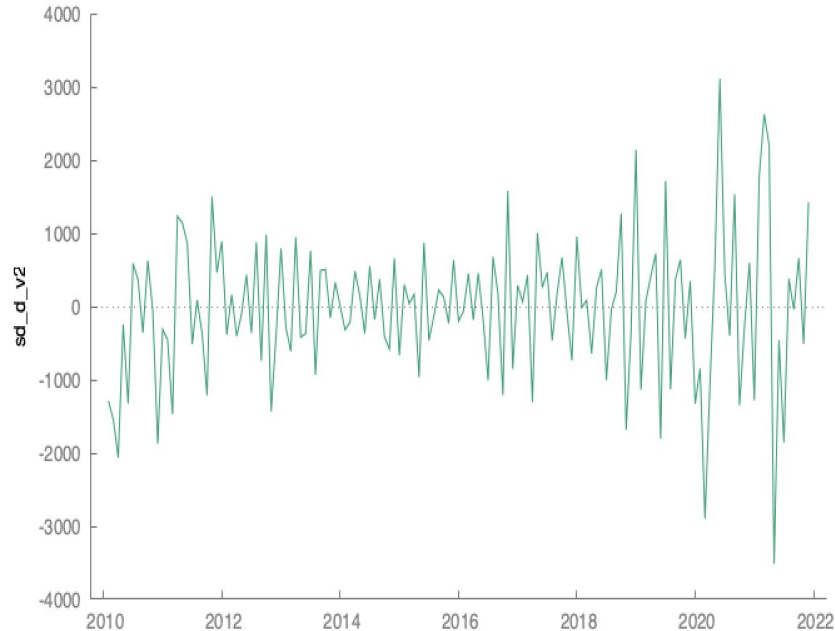
test avec constante
avec 11 retards de $(1-L)d_v2$
modèle: $(1-L)y = b_0 + (\alpha-1)y(-1) + \dots + e$
valeur estimée de $(\alpha - 1)$: -2.29016
statistique de test: $\tau_c(1) = -3.76651$
p. critique asymptotique 0.003285
Coeff. d'autocorrélation du 1er ordre pour e: 0.015
différences retardées: $F(11, 130) = 30.770 [0.0000]$

La p-critique $0.003282 < \alpha = 0.05$, faible, on rejette donc H_0 .

La série est donc stationnaire

4 - Série en différence première et saisonnière (sd_d_v2)

La série n'est pas saisonnière



Test de Dicker-Fuller

H0 = La série admet de racines unitaires

H1 = La série n'admet pas de racines unitaires

Test de Dickey-Fuller augmenté pour sd_d_v2
test à reculons à partir de 13 retards, suivant le critère AIC
taille de l'échantillon 130
hypothèse nulle de racine unitaire : $a = 1$

test avec constante
avec 12 retards de $(1-L)sd_d_v2$
modèle: $(1-L)y = b_0 + (a-1)y(-1) + \dots + e$
valeur estimée de $(a - 1)$: -2.72201
statistique de test: $\tau_c(1) = -5.13918$
p. critique asymptotique 1.051e-05
Coeff. d'autocorrélation du 1er ordre pour e: -0.020
différences retardées: $F(12, 116) = 4.249$ [0.0000]

La p-critique est très petite , on rejette donc H0.

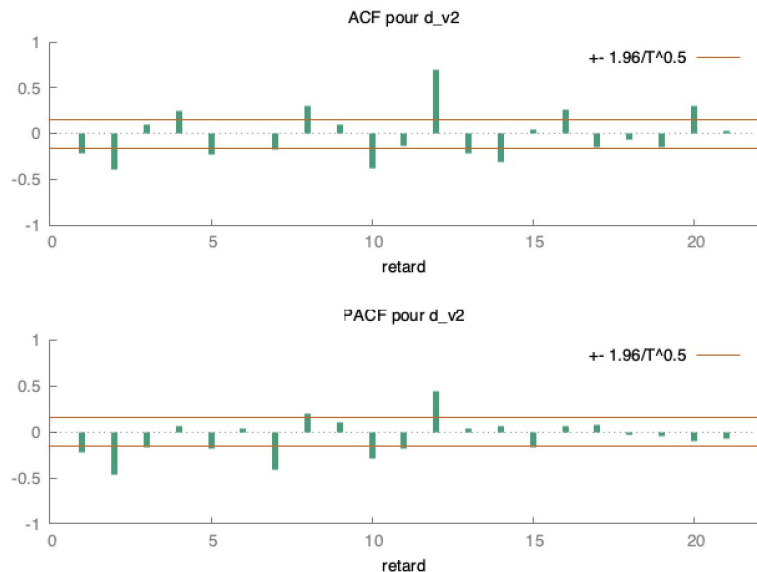
La série est donc stationnaire .

Deuxième étape

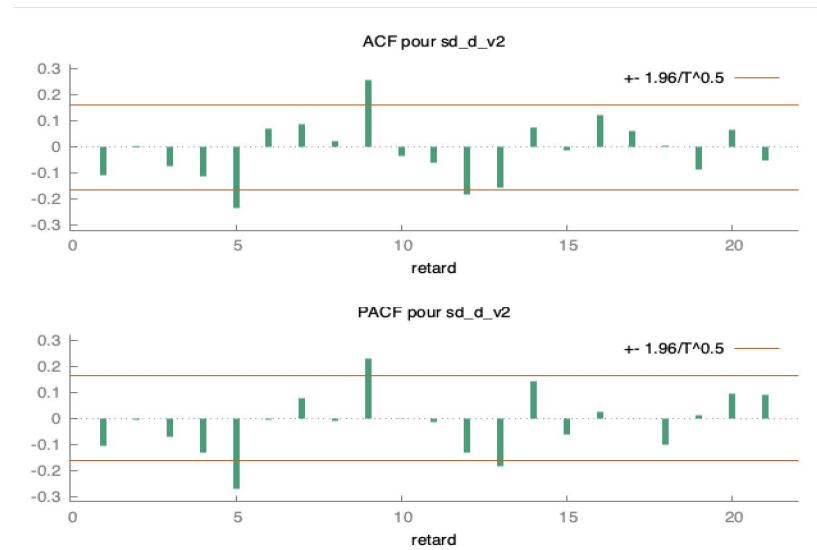
**Identification,
estimation, validation
et prévision du modèle.**

Corrélogramme des deux séries stationnaires

Série en différence premières (d_v2):



Série en différence première et saisonnière (sd_d_v2):



❖ La série sd_d_v2 a le corrélogramme le plus significatif, on choisit donc cette série.

Estimation du modèle et son écriture

Test individuel : Test de significativité du modèle

```

Évaluations de la fonction : 88
Évaluations du gradient : 31

Modèle 7: ARIMA, utilisant les observations 2010:02-2021:12 (T = 143)
Estimation par AS 197 (MV exact)
Variable dépendante: (1-L)(1-Ls) v2
Écart-types basés sur la matrice hessienne

```

	coefficient	éc. type	z	p. critique	
const	3.12569	20.0433	0.1559	0.8761	
phi_9	0.236105	0.0937563	2.518	0.0118	**
phi_22	-0.316383	0.114289	-2.768	0.0056	***
theta_1	-0.186766	0.0919645	-2.031	0.0423	**
theta_5	-0.277744	0.0909111	-3.055	0.0022	***
Theta_1	-0.513717	0.109569	-4.689	2.75e-06	***

Moyenne var. dép.	-21.58741	Éc. type var. dép.	981.3808
Moyenne innovations	-55.03916	Éc. type innovations	814.8222
R2	0.916353	R2 ajusté	0.913928
Log de vraisemblance	-1165.059	Critère d'Akaike	2344.117
Critère de Schwarz	2364.857	Hannan-Quinn	2352.545

Écriture du modèle estimé:

Le modèle est significatif, on peut donc l'écrire:

$$\begin{aligned}
 &(1-\phi_9 B^9 - \phi_{22} B^{22})(1-B)(1-B^{12})v_2 \\
 &= \\
 &(1-\theta_5 B^5)(1-\Theta B^{12})\epsilon_t
 \end{aligned}$$

		Réel	Imaginaire	Modulo	Fréquence
AR					
Ordre	1	0.7843	0.6760	1.0354	0.1132
Ordre	2	0.7843	-0.6760	1.0354	-0.1132
Ordre	3	-1.0460	-0.1677	1.0594	-0.4747
Ordre	4	-1.0460	0.1677	1.0594	0.4747
Ordre	5	1.0408	-0.1318	1.0491	-0.0200

- ❖ Tous les coefficients sont significatifs.
- ❖ Le modèle est donc significatif

Validation du modèle

Fonction d'autocorrélation résiduelle

***, **, * indiquent une significativité au seuil de 1%, 5% et 10%
sur la base d'écart-type $1/T^{0.5}$

RETARD	ACF	PACF	Q [p. critique]	
1	-0.0075	-0.0075		
2	-0.0536	-0.0536		
3	-0.0439	-0.0448		
4	-0.0077	-0.0114		
5	0.0223	0.0174		
6	0.0844	0.0823	1.8780	[0.171]
7	0.0039	0.0071	1.8803	[0.391]
8	0.0493	0.0607	2.2543	[0.521]
9	0.0232	0.0331	2.3378	[0.674]
10	-0.0251	-0.0173	2.4363	[0.786]
11	-0.0403	-0.0372	2.6915	[0.846]
12	0.0678	0.0610	3.4186	[0.844]
13	-0.1388 *	-0.1497 *	6.4921	[0.592]
14	0.0531	0.0457	6.9457	[0.643]
15	0.0900	0.0780	8.2589	[0.604]
16	0.0534	0.0523	8.7248	[0.647]
17	0.0008	0.0152	8.7249	[0.726]
18	-0.0445	-0.0329	9.0536	[0.769]
19	-0.0357	-0.0057	9.2670	[0.814]
20	0.1039	0.0893	11.0868	[0.746]
21	-0.0630	-0.0809	11.7608	[0.760]

Test PORTMANTEAU

H_0 = Toutes les autocorrélations des résidus du modèle valent zéro

H_1 = Au moins une est différente de zéro

La p-critique la plus petite des autocorrélations de notre modèle est 17,1% > 5% , on ne rejette donc pas H_0 , Les résidus sont des bruits blancs. Notre modèle est donc valide

Prévision

Calcul des prévisions

	v2	prédiction	éc. type	intervalle de 95%
2021:01	13167.00	14045.70		
2021:02	12625.00	11860.34		
2021:03	13403.00	12406.41		
2021:04	12944.00	11618.32		
2021:05	11226.00	12933.87		
2021:06	13318.00	13929.85		
2021:07	11944.00	12812.68		
2021:08	9663.00	9061.33		
2021:09	14458.00	13562.02		
2021:10	16107.00	15813.53		
2021:11	12831.00	14128.20		
2021:12	13546.00	13043.02		
2022:01	17853.00	17264.25	814.822	15667.22 – 18861.27
2022:02	15372.00	15612.77	1050.252	13554.31 – 17671.22
2022:03	17388.00	15497.56	1241.822	13063.63 – 17931.48
2022:04	14762.00	13514.07	1407.556	10755.31 – 16272.83
2022:05	13936.00	12791.31	1555.734	9742.13 – 15840.49
2022:06	14955.00	15028.15	1615.763	11861.31 – 18194.99
2022:07	13948.00	13824.83	1673.641	10544.55 – 17105.10
2022:08	12590.00	11603.66	1729.583	8213.74 – 14993.58
2022:09	17693.00	16611.76	1783.771	13115.63 – 20107.88
2022:10	19757.00	18151.04	1891.328	14444.11 – 21857.97
2022:11	16624.00	15627.10	1982.047	11742.36 – 19511.84
2022:12	14470.00	15056.72	2068.792	11001.96 – 19111.48

Statistiques sur la qualité de la prévision utilisant 12 observations

Moyenne Erreur	730.4
Moyenne Erreur Carrée (racine)	1037.9
Moyenne Erreur Absolue	880.51
Moyenne Pourcentage Erreur	4.4734
Moyenne Pourcentage Erreur Absolue	5.4918
U2 de Theil	0.41107
Proportion de biais, UM	0.49528
Proportion des régressions, UR	0.0029592
Proportion des perturbations, UD	0.50176

Critères de qualité prédictive :

MAPE (Moyenne Pourcentage Erreur Absolue) = 5,4918%

Les modèles identifiés et leur comparaison

Xt = v2

Modèles	Coefficients significatifs	Test Portmanteau	Le critère d'Akaike (AIC)	MAPE
$(1-\phi_9 B^9 - \phi_{22} B^{22})(1-B)(1-B^{12})X_t = (1-\theta_5 B^5)(1-\theta B^{12})\epsilon_t$	OUI	17% - 84%	2344,177	5,49
$(1-\phi_1 B)(1-\phi B^{12})(1-B)(1-B^{12})X_t = (1-\theta_5 B^5 - \theta_9 B^9 - \theta_{13} B^{13})\epsilon_t$	OUI	33,2%- 99,7%	2347,947	11,409
$(1-\phi_1 B - \phi_{13} B^{13})(1-\phi B^{12})(1-B)(1-B^{12})X_t = (1-\theta_5 B^5 - \theta_9 B^9)\epsilon_t$	OUI	32,5%-99,6%	2345,956	11,035
$(1-\phi_1 B - \phi_9 B^9)(1-\phi B^{12})(1-B)(1-B^{12})X_t = (1-\theta_5 B^5)\epsilon_t$	OUI	43,5%-97,1%	2351.378	10,476
$(1-\phi_1 B - \phi_5 B^5 - \phi_{12} B^{12})(1-B)(1-B^{12})X_t = (1-\theta_9 B^9 - \theta_{13} B^{13})\epsilon_t$	OUI	44,7%-97,2%	2348,249	11,435

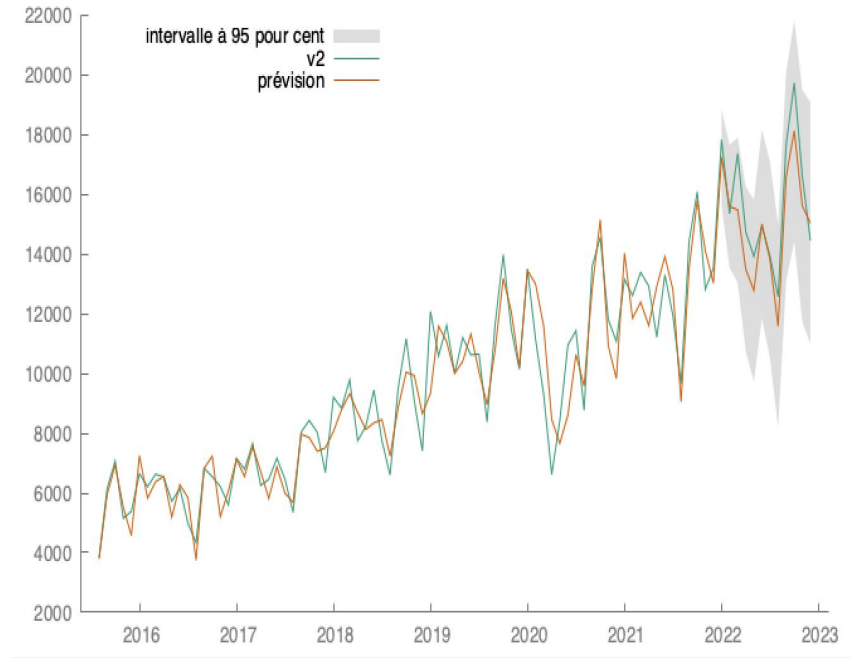
IV - Conclusion

Le MAPE du meilleurs modèle de la **méthode de lissage (méthode de Holt) : 11,04%**

Le MAPE du meilleurs modèle de la **méthode de Box-Jenkins : 5,49%**

Pour cette série la meilleure méthode est donc la méthode de Box-Jenkins.

Graphique comportant les observations et les prévisions du meilleur modèle



Merci pour votre attention !